

## การศึกษาเปรียบเทียบค่าตัวประกอบปรับผลตอบสนองของโครงสร้าง คอนกรีตเสริมเหล็กที่มีกำแพงรับแรงเฉือนสำหรับอาคารในประเทศไทย Comparison Study of Response Modification Factor for RC Structures with Shear Wall of Building in Thailand

ธนภัทร แสนชื่อ<sup>1,\*</sup> ณัฐวุฒิ ธนศรีสถิตย์<sup>2</sup> และ ภาสกร ชัยวิริยะวงศ์<sup>3</sup>

<sup>1,2</sup> ภาควิชาวิศวกรรมโยธา คณะวิศวกรรมศาสตร์ มหาวิทยาลัยเทคโนโลยีพระจอมเกล้าพระนครเหนือ จ.กรุงเทพฯ

<sup>3</sup> ภาควิชาวิศวกรรมโยธา คณะวิศวกรรมศาสตร์ มหาวิทยาลัยสงขลานครินทร์ จ.สงขลา

\*Corresponding author; E-mail address: <sup>1</sup> s6301081810013@email.kmutnb.ac.th, <sup>2</sup> nuttawut.t@eng.kmutnb.ac.th,

<sup>3</sup> passagom.c@psu.ac.th

### บทคัดย่อ

โครงสร้างคอนกรีตเสริมเหล็กที่มีกำแพงรับแรงเฉือน ถือเป็นระบบโครงสร้างที่นิยมสำหรับอาคารสูงในประเทศไทย เพื่อใช้ต้านแรงกระทำด้านข้างโดยเฉพาะแรงแผ่นดินไหว สำหรับมาตรฐานการออกแบบอาคารด้านทานการสั่นสะเทือนของแผ่นดินไหว (มยผ.1301/1302-61) ได้อ้างอิงค่าตัวประกอบต่างๆ จากมาตรฐานของต่างประเทศเป็นแม่แบบในการจัดทำมาตรฐานฉบับนี้ โดยเฉพาะค่าตัวประกอบผลตอบสนอง ( $R$ ) ที่เป็นตัวแปรสำคัญในการหาค่าแรงเฉือนที่ฐานและแรงภายในชิ้นส่วนที่ใช้ออกแบบงานวิจัยนี้ได้ทำการศึกษาเปรียบเทียบค่าตัวประกอบปรับผลตอบสนองของโครงสร้างคอนกรีตเสริมเหล็กที่มีกำแพงรับแรงเฉือนแบบธรรมดาตามที่มีกำหนดในมาตรฐาน ( $R = 5$ ) เปรียบเทียบกับการหาค่า  $R$  ตามวิธีการของ Uang จากผลการศึกษาได้ค่า  $R$  เท่ากับ 5.54 และ 4.15 ในทิศทางตามแกน X และแกน Y ของอาคารตามลำดับ โดยค่า  $R$  ที่จากการศึกษามีค่าที่ต่ำกว่าที่กำหนดในมาตรฐานสำหรับในทิศทางแกน Y

คำสำคัญ: กำแพงรับแรงเฉือน, ตัวประกอบปรับผลตอบสนอง, วิธีการวิเคราะห์แบบสถิติไม่เชิงเส้น

### Abstract

Reinforced concrete (RC) structures with shear wall are popular structural system on high-rise buildings in Thailand. Shear wall is a structural member used to resist lateral forces, especially seismic load. The Seismic resistant building design standard (DPT 1301/1302-61) has referenced any factor from foreign standards as a template for the preparation of this standard. In particular, the response modification factor ( $R$ ) is an important factor in determining the base shear and internal forces of the design components. This research presents comparison study of response modification factor ( $R$ ) for ordinary reinforced concrete shear wall in standard. The  $R$

value in design standard ( $R = 5$ ) is compared with the  $R$  value based on Uang's method. From the study, the  $R$  values are 5.54 and 4.15 in X and Y-directions of building, respectively. The study of  $R$  value is lower than specified in the standard in Y-direction.

Keywords: shear wall, response modification factor, pushover analysis

### 1. คำนำ

ในปัจจุบันโลกได้ประสบปัญหาเกี่ยวกับภัยพิบัติต่างๆ มากมาย การเกิดแผ่นดินไหวก็เป็นอีกหนึ่งของภัยพิบัติที่อันตรายต่อชีวิตและทรัพย์สินมนุษย์มากที่สุด นั่นคือการก่อให้เกิดการพังทลายของอาคารที่พังก่อภัยและสิ่งก่อสร้าง ด้วยเหตุนี้ทำให้นักวิจัยได้มีการศึกษาโดยมีแนวความคิดเพื่อลดความสูญเสียจากภัยแผ่นดินไหว ด้วยการเพิ่มศักยภาพในการวิเคราะห์หาสาเหตุและวิธีการออกแบบอาคารที่เหมาะสม เพื่อให้โครงสร้างอาคารมีความแข็งแรงและสามารถต้านทานแรงที่เกิดจากการสั่นสะเทือนของแผ่นดินไหวได้

โดยทั่วไป การออกแบบอาคารเพื่อให้สามารถต้านทานแรงแผ่นดินไหว นั้น วิศวกรผู้ออกแบบต้องทราบถึงค่าตัวประกอบที่สำคัญต่าง ๆ ซึ่งค่าตัวประกอบเหล่านั้นจะขึ้นอยู่กับลักษณะที่ตั้งอาคาร ประเภทของอาคาร โดยหนึ่งในค่าตัวประกอบที่มีความสัมพันธ์กับประเภทของอาคารโดยตรงที่มาตรฐานต่าง ๆ กำหนดไว้คือ ค่าตัวประกอบปรับผลตอบสนอง ( $R$ ) ซึ่งมาตรฐานการออกแบบอาคารด้านทานการสั่นสะเทือนของแผ่นดินไหว (มยผ.1301/1302-61) ที่ถูกกำหนดโดยกรมโยธาธิการและผังเมืองได้อ้างอิงจากมาตรฐานของต่างประเทศเป็นแม่แบบในการจัดทำมาตรฐานฉบับนี้ขึ้น ทำให้การเลือกใช้ค่าตัวประกอบผลตอบสนอง ( $R$ ) ดังกล่าวอาจจะมีเหมาะสมหรือไม่เหมาะสมสำหรับรูปแบบอาคารในประเทศไทยจึงเป็นที่มาของงานวิจัยนี้ในการศึกษานี้ได้ทำการศึกษาเปรียบเทียบค่าตัวประกอบปรับ

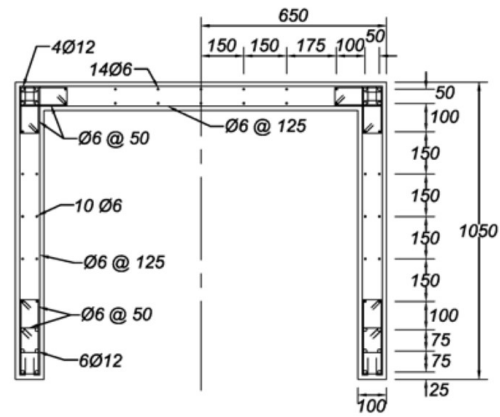
ผลตอบสนองของโครงสร้างคอนกรีตเสริมเหล็กที่มีกำแพงรับแรงเฉือนสำหรับอาคารในประเทศไทย

## 2. การสอบเทียบแบบจำลองทางคอมพิวเตอร์กับผลทดสอบในห้องปฏิบัติการ

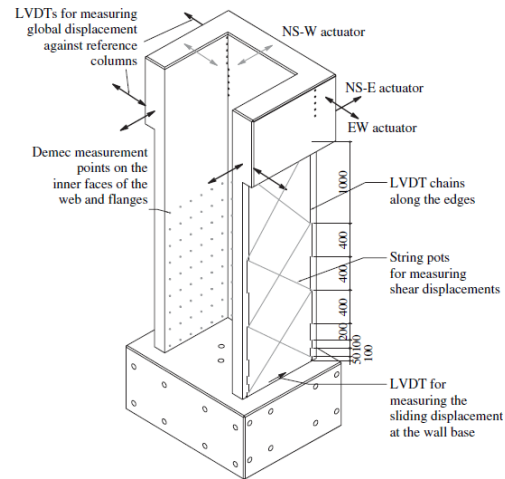
เนื่องด้วยการจำลองพฤติกรรมแบบไม่เชิงเส้นของกำแพงคอนกรีตเสริมเหล็กนั้นค่อนข้างซับซ้อน เพราะฉะนั้นจึงได้มีการสอบเทียบแบบจำลองที่วิเคราะห์ได้จากโปรแกรมเทียบกับผลทดสอบจริงในห้องปฏิบัติการ โดยเลือกใช้งานวิจัยของ Katrin, B. et al. [1] ที่ศึกษาพฤติกรรมของผนังคอนกรีตเสริมเหล็กที่มีส่วนตัดขวางเป็นรูปตัวยู (TUB) โดยที่แบบผนังคอนกรีตเสริมเหล็กมีความสูงเท่ากับ 3,490 มิลลิเมตร ขนาดมิติต่าง ๆ และการจัดวางเหล็กเสริมแสดงดังรูปที่ 1 ในการเปรียบเทียบและศึกษาวิธีการสร้างแบบจำลอง ได้ใช้แบบจำลองและคุณสมบัติของวัสดุที่ได้จากงานวิจัยของ Lu, Y. and Panagioutou, M. [2] แสดงดังรูปที่ 2 เพื่อให้แบบจำลองกำแพงรับแรงเฉือนที่ใช้ในการศึกษาในครั้งนี้มีคุณสมบัติต่าง ๆ ที่ครบถ้วนโดยกำแพงรับแรงเฉือนคอนกรีตเสริมเหล็กมีพฤติกรรมที่สอดคล้องกับแผ่นเปลือกบาง (Shell element) แบบชิ้นส่วน Nonlinear Shell layer ซึ่งเป็นฟังก์ชันหนึ่งในโปรแกรม ETABS ที่ใช้ในการศึกษานี้

### 2.1 การกำหนดพฤติกรรมในช่วงไม่เชิงเส้น (Non-linear Behavior) โดยใช้ชิ้นส่วนแผ่นเปลือกบางแบบเป็นชั้น ๆ (Shell Layer Element)

สำหรับชิ้นส่วนโครงสร้างกำแพงรับแรงเฉือนคอนกรีตเสริมเหล็กได้เลือกใช้ชิ้นส่วนแผ่นเปลือกบางแบบเป็นชั้น ๆ (Shell Layer Element) ในการสร้างแบบจำลองไฟไนต์เอลิเมนต์ของโครงสร้าง ซึ่งชิ้นส่วนดังกล่าวสามารถจำลองพฤติกรรมการรับแรงได้ทั้งแรงในแนวระนาบและตั้งฉากกับแนวระนาบรวมถึงโมเมนต์ดัด และสามารถพิจารณาพฤติกรรมแบบไม่เชิงเส้นโดยการจำลองพฤติกรรมของหน้าตัดเชิงประกอบระหว่างคอนกรีตกับเหล็กเสริมได้ โดยการกำหนดคุณสมบัติทางกลของคอนกรีตและเหล็กเสริมแสดงดังตารางที่ 1 และมีความสัมพันธ์ระหว่างความเค้นและความเครียดของคอนกรีตและเหล็กเสริมแสดงดังรูปที่ 3 และรูปที่ 4 ตามลำดับ นอกจากนี้ยังสามารถกำหนดความหนาของวัสดุที่แตกต่างกันในแต่ละชั้น (Multi-Layer Shell Element) แสดงดังรูปที่ 5(a) และการกระจายของชั้นเหล็กเสริม (Distribution of the bar layers) แสดงดังรูปที่ 5(b) โดยคุณสมบัติของชิ้นส่วนแผ่นเปลือกบางแบบเป็นชั้น ๆ ที่กล่าวมาข้างต้นสามารถจำลองพฤติกรรมในช่วงไม่เชิงเส้น (Non-linear Behavior) ของชิ้นส่วนกำแพงรับแรงเฉือนคอนกรีตเสริมเหล็ก [3]



(a)



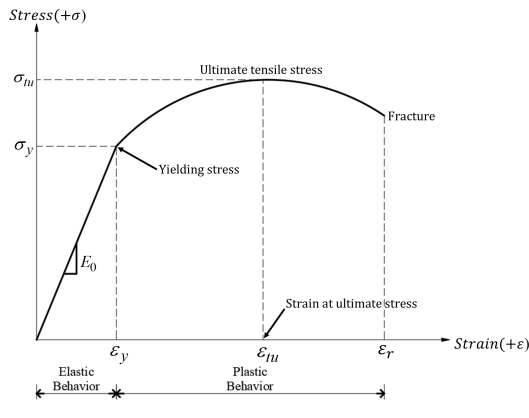
(b)

รูปที่ 1 (a) ขนาดมิติต่าง ๆ การจัดวางเหล็กเสริมกำแพงคอนกรีตเสริมเหล็ก และ (b) แบบจำลองตัวอย่างที่ถูกทดสอบในห้องปฏิบัติการ [1]

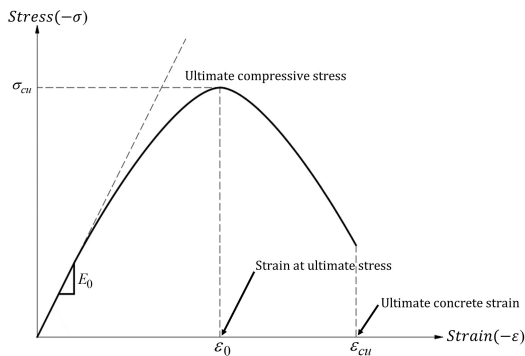
### Material Properties:

Reinforcing Steel:		Concrete:		Confined concrete:	
	Ø6	Ø12		C1	C2W & E
$f_y$ (MPa)	518	471	$f'_c$ (MPa)	54.7	$f_{cc}$ (MPa) 76.6
$f_u$ (MPa)	681	574	$\epsilon_{co}$	0.2%	$\epsilon_{co}$ 0.6%
$\epsilon_{sh}$	-	2.9%	$f_t$ (MPa)	2.46	$\epsilon_{cs}$ 1.5%
$\epsilon_{su}$	8.4%	12.7%			1.62%
$B_b$	2.5%	1%			

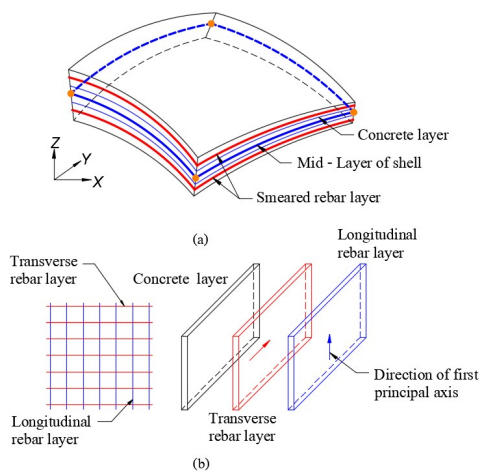
รูปที่ 2 คุณสมบัติทางกลของคอนกรีตและเหล็กเสริมในการสร้างแบบจำลองผนังคอนกรีตเสริมเหล็ก [2]



รูปที่ 3 ความสัมพันธ์ระหว่างความเค้นและความเครียดของคอนกรีต



รูปที่ 4 ความสัมพันธ์ระหว่างความเค้นและความเครียดของเหล็กเสริม



รูปที่ 5 (a) องค์ประกอบของ Multi-Layer Shell Element และ (b) การกระจายของชั้นเหล็กเสริม Distribution of the Bar Layers [3]

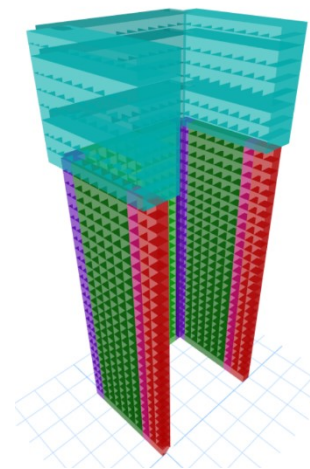
ตารางที่ 1 คุณสมบัติทางกลของคอนกรีตและเหล็กเสริมที่ใช้ในแบบจำลอง

วัสดุ	ตัวแปร	หน่วย	อาคารสูง 8 ชั้น
Concrete in compression	$\sigma_{cu}$	MPa	31.38
	$E_0$	MPa	26,664.87
	$\epsilon_0$	-	0.0022
	$\epsilon_{cu}$	-	0.0060
Reinforcement bar in tension	$\sigma_y$	MPa	392.27
	$\sigma_{tu}$	MPa	558.98
	$E_0$	MPa	200,000
	$\epsilon_y$	-	0.0020
	$\epsilon_r$	-	0.108

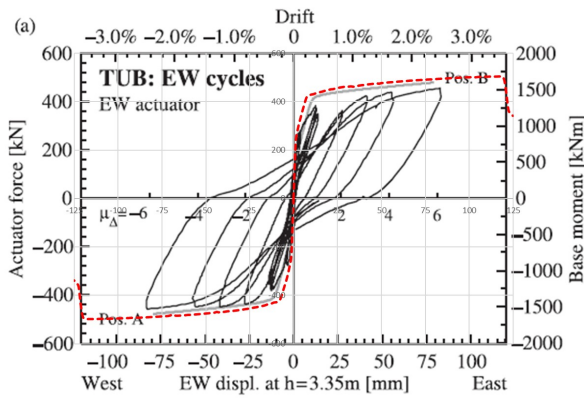
\*หมายเหตุ เนื่องจากความต้านทานแรงดึงในคอนกรีตนั้นต่ำ ในงานวิจัยนี้จึงกำหนดให้ค่ากำลังรับแรงดึงในคอนกรีตเท่ากับ 0

## 2.2 ผลการสอบเทียบแบบจำลอง

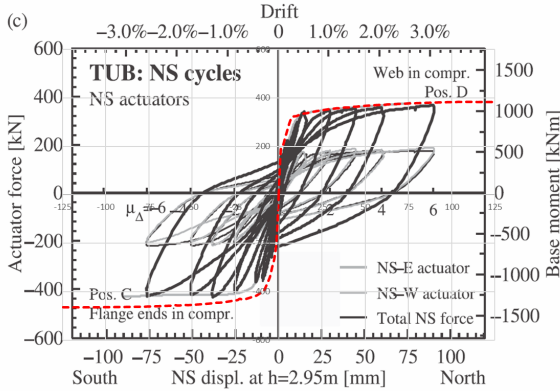
จากแบบจำลองผนังคอนกรีตเสริมเหล็กด้วยโปรแกรม ETABS แสดงดังรูปที่ 6 ผลการวิเคราะห์โครงสร้างสามารถแสดงในรูปแบบของความสัมพันธ์ระหว่างระยะการเคลื่อนตัว ณ จุดสูงสุดของโครงสร้าง (Top Displacement) กับ แรงเฉือนที่ฐาน (Base Shear) หรือเรียกว่า Pushover Curve จากนั้นนำผลการวิเคราะห์ที่ได้จากการผลึกในแต่ละทิศทางได้แก่ทิศทาง EW และ NS ไปเปรียบเทียบกับผลการทดสอบจริงในห้องปฏิบัติการของ Katrin, B. et al. แสดงดังรูปที่ 7 และรูปที่ 8 ตามลำดับ



รูปที่ 6 การสร้างแบบจำลองผนังคอนกรีตเสริมเหล็ก (TUB) ด้วยโปรแกรม ETABS



รูปที่ 7 ผลการสอบเทียบแบบจำลอง (TUB) ในทิศทาง EW ระหว่างการทดสอบจริงในห้องปฏิบัติการและการวิเคราะห์ด้วยโปรแกรม ETABS (เส้นประ)



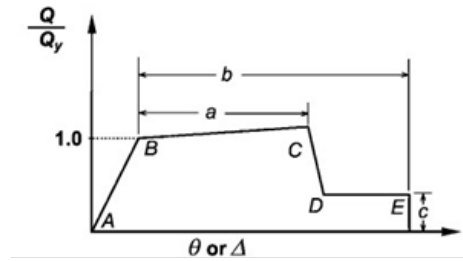
รูปที่ 8 ผลการสอบเทียบแบบจำลอง (TUB) ในทิศทาง NS ระหว่างการทดสอบจริงในห้องปฏิบัติการและการวิเคราะห์ด้วยโปรแกรม ETABS (เส้นประ)

จากผลการสอบเทียบแบบจำลองของโครงสร้างผนังคอนกรีตเสริมเหล็กด้วยโปรแกรม ETABS โดยกำหนดคุณสมบัติวัสดุและเงื่อนไขต่าง ๆ ให้สอดคล้องกับตัวอย่างที่ใช้ในการทดสอบจริงพบว่า ผลที่ได้จากการวิเคราะห์ทั้งระยะการเคลื่อนตัว ณ จุดสูงสุดของโครงสร้างและแรงเฉือนที่ฐาน ได้ผลที่ใกล้เคียงและสอดคล้องกับผลการทดสอบจริงในห้องปฏิบัติการของ Katrin, B. et al. ในระดับที่ยอมรับได้

### 3. การจำลองและการวิเคราะห์โครงสร้างอาคารคอนกรีตเสริมเหล็กที่มีกำแพงรับแรงเฉือน

การสร้างแบบจำลองอาคารตัวอย่างที่ใช้ในการศึกษาค่าตัวประกอบปรับผลตอบสนอง ( $R$ ) จะกำหนดพฤติกรรมในช่วงไม่เชิงเส้น (Non-linear Behavior) โดยใช้ชั้นแผ่นเปลือกบางแบบเป็นชั้น ๆ (Shell Layer Element) สำหรับกำแพงรับแรงเฉือนและการจำลองคุณสมบัติไม่เชิงเส้นของเสาจะกำหนดความสัมพันธ์ของแรงและการเสียรูปในเสา ในรูปของจุดหมุนพลาสติกที่ปลายเสา เป็นการวิบัติที่ควบคุมโดยการตัด โดยอ้างอิง

ความสัมพันธ์ของแรงและการเสียรูปตาม มยผ. 1303-57 [4] ซึ่งกำหนดลักษณะความสัมพันธ์ระหว่างแรงและการเสียรูป ดังแสดงในรูปที่ 9

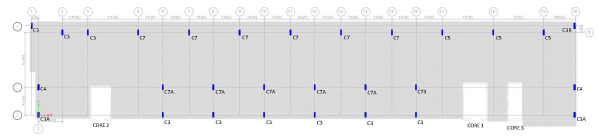


รูปที่ 9 ความสัมพันธ์ระหว่างแรงและการเสียรูป มยผ. 1303-57 [4]

เนื่องจากแบบจำลองมีความซับซ้อนมาก ทำให้ในงานวิจัยนี้เลือกใช้ Rigid Floor Diaphragm โดยสมมติว่าพื้นมีความแข็งมากจนไม่มีการเสียรูปทรงในระนาบ (in-plane) มีแต่การเคลื่อนที่ไปพร้อมกันทั้งแผ่นแทนการสร้างแบบจำลองพื้นแบบแผ่นเปลือกบาง (Shell element) หลังจากนั้นทำการกระจายน้ำหนักบรรทุกต่างๆ ลงสู่เสาและกำแพงรับแรงเฉือนด้วยวิธีพื้นที่รับน้ำหนัก (Tributary area method)

#### 3.1 แบบอาคารตัวอย่าง

อาคารตัวอย่างที่ใช้ในการศึกษาค่าตัวประกอบปรับผลตอบสนอง ( $R$ ) เป็นอาคารคอนกรีตเสริมเหล็กที่มีกำแพงรับแรงเฉือนที่มีความสูง 8 ชั้น (22.8 เมตร) โดยมีแปลนพื้นอาคาร ขนาดของเสาและความหนาของกำแพงรับแรงเฉือนแสดงดังรูปที่ 10



(a)

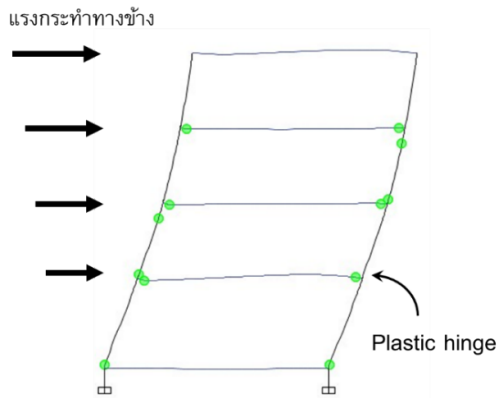
Floor	ขนาดเสา ( เมตรเมตร)							ความหนาของกำแพงรับแรงเฉือน (เมตร)	
	C3	C3A	C3B	C4	C5	C7	C7A		C7B
6th-Roof	0.27 x 0.87	0.27 x 0.87	0.27 x 0.87	0.27 x 0.87	0.27 x 0.87	0.27 x 0.87	0.27 x 0.87	0.27 x 0.87	0.20
4th-6th	0.27 x 0.87	0.27 x 0.87	0.32 x 0.87	0.27 x 0.87	0.27 x 0.87	0.27 x 0.87	0.27 x 0.87	0.27 x 0.87	0.20
1st-3rd	0.32 x 0.92	0.32 x 0.92	0.32 x 0.92	0.32 x 0.92	0.42 x 0.92	0.32 x 0.92	0.32 x 0.92	0.32 x 0.92	0.20

(b)

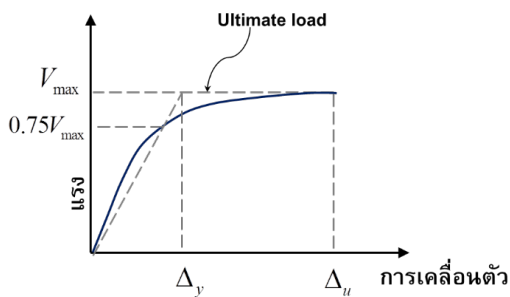
รูปที่ 10 (a) แปลนพื้น (b) ขนาดของเสาและความหนาของกำแพงรับแรงเฉือนของอาคารตัวอย่างที่มีความสูง 8 ชั้นที่ใช้ในงานวิจัย

### 3.2 การวิเคราะห์โครงสร้างอาคารภายใต้แรงแผ่นดินไหว

การวิเคราะห์พฤติกรรมพลศาสตร์โครงสร้างอาคารเพื่อประเมินกำลังต้านทานแผ่นดินไหวสามารถทำได้หลายวิธี แต่ในงานวิจัยนี้ใช้วิธีสถิตไม่เชิงเส้น (Nonlinear Static Analysis) โดยวิธีดังกล่าวจะสมมติให้แรงแผ่นดินไหวเป็นแรงกระจายแบบสถิตกระทำที่ด้านข้างของโครงสร้างอาคาร และพิจารณาพฤติกรรมของชิ้นส่วนโครงสร้างเป็นแบบไม่เชิงเส้น จากนั้นเพิ่มขนาดของแรงกระทำทางด้านข้างในทิศทางเดียวจนชิ้นส่วนบางชิ้นส่วนของโครงสร้างมีการเสียรูปจนเกิดการครากในชิ้นส่วน ทำให้เป็นจุดต่อพลาสติกขึ้น ซึ่งหากโครงสร้างอาคารมีจำนวนจุดต่อพลาสติกมากขึ้นจะส่งผลให้โครงสร้างมีกำลังลดลงและสูญเสียเสถียรภาพตามรูปที่ 11 จากนั้นสามารถหาผลตอบสนองได้จากกราฟความสัมพันธ์ระหว่างแรงเฉือนที่ฐาน (Base Shear) กับการเคลื่อนตัวที่จุดบนสุดของโครงสร้างอาคาร (Roof Displacement) ซึ่งสามารถหาสถานะที่จุดครากของโครงสร้าง (Yield Point) ได้ตามวิธีของ Park [5] ตามรูปที่ 12



รูปที่ 11 วิธีวิเคราะห์ด้วยวิธีสถิตไม่เชิงเส้น



รูปที่ 12 การคำนวณหาสถานะที่จุดครากของโครงสร้างตามวิธีของ Park [5]

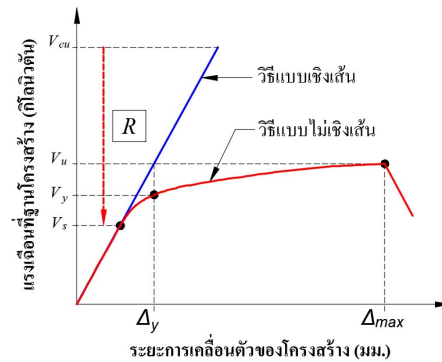
### 3.3 การกำหนดรูปแบบของแรงที่กระทำ (Load Pattern)

การวิเคราะห์พฤติกรรมของโครงสร้างสามารถกำหนดรูปแบบของแรงที่กระทำได้เพียงแบบเดียว ดังนั้นในการศึกษานี้จึงได้เลือกใช้รูปแบบของแรงที่กระทำแบบโหมด (Modal Load Pattern) โดยเลือกใช้โหมดที่มีผลของมวลประสิทธิผลเชิงโหมด (Modal Mass Participation) ที่มีค่ามากที่สุดของแต่ละทิศทางซึ่งกำหนดให้เป็นโหมดที่ 1 ของทิศทางนั้นๆ นอกจากนี้ในโหมด

การสั่นสูง ๆ ของโครงสร้างจะมีการสลายพลังงานหรือมีความหน่วงที่มากขึ้น ส่งผลทำให้การสั่นในโหมดที่สูงจะมีขนาดน้อยกว่า จึงใช้การสั่นไหวในโหมดที่ 1 ในการกำหนดรูปแบบของแรงที่กระทำสำหรับการวิเคราะห์โครงสร้างอาคารที่ละหนึ่งทิศทาง

### 4. การคำนวณค่าตัวประกอบปรับผลตอบสนอง (R)

หลักการออกแบบโครงสร้างต้านทานแรงแผ่นดินไหวในปัจจุบัน ได้พิจารณายอมให้ใช้พฤติกรรมของโครงสร้างจนถึงช่วงไม่เชิงเส้น แต่การวิเคราะห์โครงสร้างสำหรับพฤติกรรมโครงสร้างแบบไม่เชิงเส้นมีความยุ่งยากและซับซ้อน ดังนั้นในมาตรฐานต่าง ๆ จึงยอมให้ใช้การวิเคราะห์โครงสร้างสำหรับพฤติกรรมโครงสร้างแบบเชิงเส้นได้ แต่กำหนดให้มีค่าปรับแก้ในส่วนนี้ด้วยค่าตัวประกอบปรับผลตอบสนอง (Response Modification Factor, R) ที่แปรผันตามค่าความเหนียวของระบบโครงสร้าง ทั้งนี้การวิเคราะห์โครงสร้างอาคารแบบเชิงเส้นจะให้ค่าแรงเฉือนที่ฐานของอาคารที่สูงเนื่องจากโครงสร้างไม่เกิดความเสียหายตลอดช่วงที่พิจารณา ซึ่งค่าตัวประกอบปรับผลตอบสนองนั้นขึ้นอยู่กับความเหนียวของโครงสร้าง ดังแสดงในรูปที่ 13



รูปที่ 13 การปรับค่าแรงเฉือนที่ฐานด้วยค่าตัวประกอบปรับผลตอบสนอง

จากรูปที่ 13 กราฟความสัมพันธ์แสดงให้เห็นได้ว่าค่าตัวประกอบปรับผลตอบสนอง (R) เป็นอัตราส่วนระหว่างค่าแรงเฉือนที่กระทำสูงสุดที่เกิดจากการวิเคราะห์โครงสร้างด้วยวิธีแบบเชิงเส้น ( $V_{eu}$ ) กับค่าแรงเฉือนที่ฐานของโครงสร้างอาคารในสถานะที่โครงสร้างเกิดจุดครากจุดแรก (First Yield,  $V_s$ ) ซึ่งจากความสัมพันธ์ดังกล่าวเขียนเป็นสมการได้ดังสมการที่ (1)

$$R = \frac{V_{eu}}{V_s} \quad (1)$$

จากการทบทวนงานวิจัยที่เกี่ยวกับการหาค่าตัวประกอบปรับผลตอบสนอง (R) ที่ผ่านมาพบว่ามียานวิจัยเพื่อศึกษาค่า R เฉพาะโครงสร้างคอนกรีตเสริมเหล็ก [6-7] ตามวิธีการของ ATC-19 [8] และตามวิธีการของ Uang [9] สำหรับงานวิจัยนี้ได้ใช้วิธีการหาค่า R ตามวิธีการของ Uang เนื่องจากวิธี ATC-19 มีข้อจำกัดในการหาค่าตัวแปรบางตัวทำให้มีโอกาสที่จะเกิดข้อผิดพลาดในการวิเคราะห์ได้มาก



การวิเคราะห์หาค่า  $R$  ของโครงสร้างคอนกรีตเสริมเหล็กที่มีกำแพงรับแรงเฉือนสำหรับอาคารในประเทศไทย โดยการหาค่า  $R$  ตามวิธีการของ Uang [9] สามารถคำนวณได้ตามสมการที่ (2)

$$R = R_\mu \Omega \quad (2)$$

โดยที่  $R_\mu$  คือค่าตัวประกอบเนื่องจากความเหนียวของโครงสร้าง (Ductility Response Factor) และ  $\Omega$  คือค่าตัวประกอบเนื่องจากกำลังส่วนเกินของโครงสร้าง (Over strength Factor)

#### 4.1 ค่าตัวประกอบเนื่องจากความเหนียวของโครงสร้าง ( $R_\mu$ )

โครงสร้างอาคารเมื่อได้รับแรงกระทำทางด้านข้าง จะเกิดการเคลื่อนตัวของโครงสร้างซึ่งจะมากหรือน้อยก็ขึ้นอยู่กับขนาดของแรงที่กระทำและสติฟเนส (Stiffness) ของโครงสร้าง เมื่อมีการเคลื่อนตัวของโครงสร้างจนถึงสถานะที่โครงสร้างถึงจุดคราก (Yield Displacement,  $\Delta_y$ ) ไปจนกระทั่งโครงสร้างเกิดการวิบัติ (Ultimate Displacement,  $\Delta_u$ ) ความสัมพันธ์ของระยะการเคลื่อนตัวสูงสุดและการเคลื่อนตัว ณ จุดครากของโครงสร้างที่กล่าวมาข้างต้นนั้น เรียกว่าสัดส่วนการเคลื่อนตัวของโครงสร้าง (Ductility Factor,  $\mu$ ) สามารถเขียนความสัมพันธ์ได้ตามสมการที่ (3)

$$\mu = \frac{\Delta_u}{\Delta_y} \quad (3)$$

เมื่อได้ค่าสัดส่วนของการเคลื่อนตัวของโครงสร้าง ( $\mu$ ) แล้วก็สามารถคำนวณหาค่าตัวแปรเนื่องจากความเหนียวของโครงสร้าง ( $R_\mu$ ) ได้ ซึ่งได้มีการศึกษาวิจัยถึงแนวทางของวิธีการหาความสัมพันธ์ระหว่างค่าสัดส่วนของการเคลื่อนตัวของโครงสร้างไว้หลายวิธี เช่น วิธีการคำนวณหาค่าตัวแปรเนื่องจากความเหนียว ( $R_\mu$ ) จากพฤติกรรมของโครงสร้างที่วางอยู่บนดิน 3 ประเภท [10] และสำหรับงานวิจัยครั้งนี้ได้นำวิธีการของ Newmark [11] มาใช้ในการหาค่า  $R_\mu$  โดยพิจารณาจากคาบการสั่นพื้นฐานของโครงสร้าง ( $T$ ) กับค่าสัดส่วนการเคลื่อนตัวของโครงสร้าง ( $\mu$ ) โดยสามารถเขียนเป็นสมการได้ตามสมการที่ (4) ถึง (6)

- เมื่อ  $T < 0.03$  วินาที

$$R_\mu = 1 \quad (4)$$

- เมื่อ  $0.12 < T < 0.5$  วินาที

$$R_\mu = \sqrt{2\mu - 1} \quad (5)$$

- เมื่อ  $T > 1.0$  วินาที

$$R_\mu = \mu \quad (6)$$

#### 4.2 ค่าตัวประกอบเนื่องจากกำลังส่วนเกินของโครงสร้าง ( $\Omega$ )

ค่าตัวประกอบเนื่องจากกำลังส่วนเกินของโครงสร้างเป็นความสัมพันธ์ระหว่างค่าแรงเฉือนพื้นฐานของโครงสร้างขณะที่ชิ้นส่วนของโครงสร้างถึงจุดครากจุดแรก (First Yield,  $V_s$ ) กับค่าแรงเฉือนพื้นฐานในสถานะที่โครงสร้างถึงจุดคราก ( $V_y$ ) สามารถเขียนในความสัมพันธ์ได้ดังสมการที่ (7)

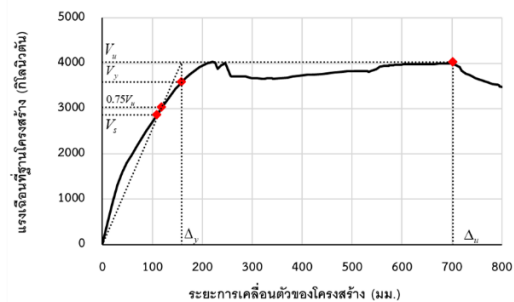
$$\Omega = \frac{V_y}{V_s} \quad (7)$$

### 5. ผลการวิเคราะห์อาคารคอนกรีตเสริมเหล็กที่มีกำแพงรับแรงเฉือน

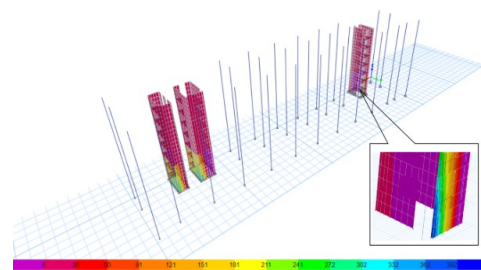
ผลการวิเคราะห์ของโครงสร้างอาคารคอนกรีตเสริมเหล็กที่มีกำแพงรับแรงเฉือน โดยแบ่งออกเป็นสองส่วนคือ ผลการวิเคราะห์การตอบสนองของโครงสร้างอาคารคอนกรีตเสริมเหล็กที่มีกำแพงรับแรงเฉือน ซึ่งได้จากการวิเคราะห์ด้วยวิธีแบบสถิตโดยโครงสร้างมีพฤติกรรมแบบไม่เชิงเส้น และผลการวิเคราะห์ค่าตัวประกอบปรับผลการตอบสนองด้วยวิธีการหาค่า  $R$  ตามสมการที่กล่าวมาข้างต้น

#### 5.1 ผลการวิเคราะห์การตอบสนองของอาคารคอนกรีตเสริมเหล็กที่มีกำแพงรับแรงเฉือน

ผลการวิเคราะห์ที่โครงสร้างคอนกรีตเสริมเหล็กที่มีกำแพงรับแรงเฉือนที่มีความสูง 8 ชั้น ได้กราฟความสัมพันธ์ระหว่างระยะการเคลื่อนตัวของโครงสร้างกับค่าแรงเฉือนพื้นฐานในทิศทาง X และ Y แสดงในรูปที่ 14 และ 16 ตามลำดับ โดยแสดงสถานะที่โครงสร้างอาคารเกิด First Yield ในทิศทาง X และ Y ตามลำดับ ไว้ดังรูปที่ 15 และ 17 และได้นำความสัมพันธ์ดังกล่าวไปวิเคราะห์ผลของค่าตัวประกอบต่าง ๆ ที่นำมาใช้วิเคราะห์หาค่าตัวประกอบปรับผลการตอบสนอง ( $R$ ) สามารถแสดงผลดังตารางที่ 2 และ 3 ตามลำดับ



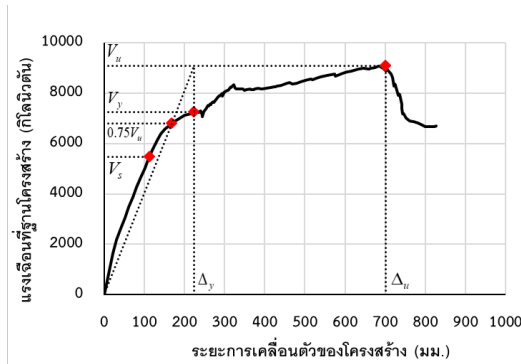
รูปที่ 14 ความสัมพันธ์ระหว่างระยะการเคลื่อนตัวของโครงสร้างกับค่าแรงเฉือนพื้นฐานของโครงสร้างอาคารคอนกรีตเสริมเหล็กที่มีกำแพงรับแรงเฉือนในทิศทาง X



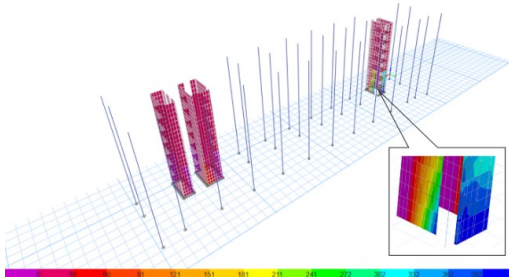
รูปที่ 15 ผลการตอบสนองและค่าความเค้นตามแนวตั้งของโครงสร้าง ณ สถานะที่โครงสร้างเกิดจุดครากจุดแรก ในทิศทาง X

ตารางที่ 2 ผลการวิเคราะห์โครงสร้างของอาคารที่มีความสูง 8 ชั้นในแนวแกน X

ตัวแปร	หน่วย	ขนาด
$V_u$	กิโลนิวตัน	4,032
$0.75V_u$	กิโลนิวตัน	3,024
$V_y$	กิโลนิวตัน	3,584
$V_s$	กิโลนิวตัน	2,866
$\Delta_y$	มิลลิเมตร	159
$\Delta_u$	มิลลิเมตร	702



รูปที่ 16 ความสัมพันธ์ระหว่างระยะการเคลื่อนตัวของโครงสร้างกับค่าแรงเฉือนที่ฐานของโครงสร้างอาคารคอนกรีตเสริมเหล็กที่มีกำแพงรับแรงเฉือนในทิศทาง Y



รูปที่ 17 ผลการตอบสนองและค่าความเค้นตามแนวตั้งของโครงสร้าง ณ สภาวะที่โครงสร้างเกิดจุดครากจุดแรก ในทิศทาง Y

ตารางที่ 3 ผลการวิเคราะห์โครงสร้างของอาคารที่มีความสูง 8 ชั้นในแนวแกน Y

ตัวแปร	หน่วย	ขนาด
$V_u$	กิโลนิวตัน	9,075
$0.75V_u$	กิโลนิวตัน	6,806
$V_y$	กิโลนิวตัน	7,247
$V_s$	กิโลนิวตัน	5,473
$\Delta_y$	มิลลิเมตร	224
$\Delta_u$	มิลลิเมตร	701

## 5.2 ผลของค่าตัวประกอบปรับผลตอบแทน (R)

การวิเคราะห์ค่าตัวประกอบปรับผลตอบแทน (R) ของโครงสร้างคอนกรีตเสริมเหล็กที่มีกำแพงรับแรงเฉือนตัวอย่างในการศึกษานี้ ได้นำค่าตัวแปรต่าง ๆ ที่ได้จากการวิเคราะห์โครงสร้างในหัวข้อ 5.1 มาคำนวณต่อตามวิธีการที่ระบุไว้ในหัวข้อที่ 3 พบว่าค่าตัวประกอบปรับผลตอบแทน (R) ของอาคารคอนกรีตเสริมเหล็กที่มีกำแพงรับแรงเฉือนในทิศทาง X มีค่าตัวประกอบปรับผลตอบแทน (R) เท่ากับ 5.54 และในทิศทาง Y เท่ากับ 4.15 สามารถแสดงผลการวิเคราะห์ที่ได้ดังตารางที่ 4 ซึ่งเมื่อนำมาเปรียบเทียบกับค่าที่กำหนดในมาตรฐานการออกแบบอาคารต้านทานการสั่นสะเทือนของแผ่นดินไหว (มยผ.1301/1302-61) สำหรับระบบโครงสร้างแบบกำแพงรับแรงเฉือนแบบธรรมดาซึ่งมีค่าเท่ากับ 5 ทำให้ค่า R ที่จากการศึกษานี้มีค่าที่ต่ำกว่าสำหรับในทิศทางแกน Y อาจจะเนื่องมาจากการจัดวางรูปแบบกำแพง สำหรับแรงหลักในทิศทาง Y ทำให้กำแพงแต่ละตัวแบ่งกันต้านทานแรง แต่เนื่องจากความไม่สมมาตร อาคารจึงมีการบิดตัว ส่งผลให้กำแพงตัวขวาสุด (รูปที่ 17) จะรับไปมากที่สุด ส่งผลให้การเสียรูปโดยรวมของอาคารมีค่าลดลงและค่าความเหนียวลดลง ทำให้ค่า R ที่ได้มีค่าต่ำ และเมื่อเปรียบเทียบกับแรงหลักในทิศทาง X พบว่ากำแพงแต่ละตัวจะช่วยกันต้านทานแรงไปด้วยกัน โดยสังเกตได้จากค่าความเค้นตามแนวตั้งจะมีค่าสูงที่ทุกกำแพงดังรูปที่ 15 ทำให้อาคารสามารถเสียรูปได้มากและมีค่าความเหนียวที่มากกว่า

ตารางที่ 4 ผลการวิเคราะห์ค่าตัวประกอบปรับผลตอบแทน (R) ของอาคารที่มีความสูง 8 ชั้น

ตัวแปร	ทิศทางที่ใช้ในการวิเคราะห์อาคารที่มีความสูง 8 ชั้น	
	X	Y
T ในโหมดที่ 1 (วินาที)	1.92	1.04
$\mu$	4.43	3.13
$R_\mu$	4.43	3.13
$\Omega$	1.25	1.32
R	5.54	4.15

## 6. สรุปผลการศึกษา

ผลการวิเคราะห์ค่าตัวประกอบปรับผลตอบแทน (R) ของโครงสร้างอาคารคอนกรีตเสริมเหล็กที่มีกำแพงรับแรงเฉือนทั้งสองทิศทาง มีค่าเท่ากับ 5.54 และ 4.15 สำหรับทิศทางตามแกน X และ แกน Y ตามลำดับ และเมื่อเปรียบเทียบกับค่าที่กำหนดในมาตรฐานการออกแบบอาคารต้านทานการสั่นสะเทือนของแผ่นดินไหว (มยผ.1301/1302-61) สำหรับระบบโครงสร้างแบบกำแพงรับแรงเฉือนแบบธรรมดาซึ่งมีค่าเท่ากับ 5 ทำให้ค่า R ที่จากการศึกษานี้มีค่าที่สูงกว่าสำหรับในทิศทางแกน X และมีค่าต่ำกว่าสำหรับในทิศทาง Y ซึ่งเป็นผลมาจากการจัดเรียงรูปแบบของกำแพงบนแปลนโครงสร้าง ทำให้อาคารเกิดการบิดตัว ส่งผลให้การต้านทานแรงของกำแพงแต่ละตัวไม่ร่วมกันต้านไปด้วยกัน ทำให้ค่า R ที่ได้จากการศึกษานี้มีค่าต่ำ

กว่าในมาตรฐานสำหรับในทิศทางตามแกน Y จึงเป็นข้อควรระวังในการใช้ค่า  $R$  ที่ได้สำหรับนำมาใช้ออกแบบอาคารโครงสร้างคอนกรีตเสริมเหล็กที่มีกำแพงรับแรงเฉือน

## 7. ข้อเสนอแนะ

การเลือกใช้ค่า  $R$  ที่นำมาออกแบบอาคารต้านทานการสั่นสะเทือนของแผ่นดินไหวนั้น ควรคำนึงถึงการจัดเรียงรูปแบบของกำแพงรับแรงเฉือน เนื่องจากรูปแบบการจัดเรียงนั้นส่งผลต่อการบิดตัวของอาคาร ทำให้ค่าแรงเฉือนที่เกิดขึ้นมีค่ามากกว่าที่ระบุในมาตรฐานการออกแบบ เนื่องจากค่า  $R$  ที่ได้จากการศึกษานี้มีค่าต่ำกว่าค่าที่ระบุในมาตรฐานเมื่ออาคารนั้นเกิดการบิดตัว ซึ่งเป็นข้อควรระวังในการใช้ค่า  $R$  ที่ได้สำหรับนำมาใช้ออกแบบอาคาร

## เอกสารอ้างอิง

- [1] Katrin, B. et al. (2008). Quasi-Static Cyclic Tests of Two U Shaped Reinforced Concrete Walls. Institute of Structural Engineering, ETH Zurich, Zurich, Switzerland.
- [2] Lu, Y. and Panagiotou, M. (2014). Three-Dimensional Cyclic Beam-Truss Model for Nonplanar Reinforced Concrete Walls. Journal of Structural Engineering 140(3):04013071, University of California, Berkeley
- [3] K. Bathe and E. Dvorkin (1986). A formulation of general shell elements-the use of mixed interpolation of tensorial components. Engineering International Journal for Numerical Methods in Engineering
- [4] มยผ.1303-57 (2557). มาตรฐานการประเมินและเสริมความมั่นคงแข็งแรงของโครงสร้างอาคารในเขตที่อาจได้รับแรงสั่นสะเทือนของแผ่นดินไหวกรมโยธาธิการและผังเมืองกระทรวงมหาดไทย
- [5] Park, R. (1988). Ductility evaluation from laboratory and analytical testing. *Proceedings of Ninth World Conference on Earthquake Engineering*, Tokyo-Kyoto, Japan, 2-9 August 1988, pp. 605-616.
- [6] Toopchi-Nezhad, H. and Sharifi, S. (2017). Seismic Response Modification Factor of RC-Frame Structures Based on Limit State Design. International Journal of Civil Engineering, 16.
- [7] Talaeitaba, S. B., Tahvilian, H. and Saeedi, B. (2014). The Effect of the Arrangement and Length of the Concrete Shear Walls on the Response Modification Factor (R) for RC Building Structures. *Electronic Journal of Structural Engineering (EJSE)*, 10.
- [8] ATC-19 (1995). Structural response modification factors. ATC Applied Technology Council.
- [9] Chia-Ming Uang. (1991). Establishing R (or  $R_w$ ) and  $C_d$

factors for Building Seismic Provisions. Journal of Structural Engineering, 117, pp. 19-28.

- [10] Miranda, E. and Bertero, V. (1994). Evaluation of Strength Reduction Factors for Earthquake – Resistant Design. *Earthquake Spectra*, 10, pp. 357-379.
- [11] Newmark, N.M. and Hall, W.J. (1982), *Earthquake spectra and design*. EERI Monograph Series, EERI, Oakland.
- [12] มยผ.1301/1302-61 (2561). มาตรฐานการออกแบบอาคารต้านทานการสั่นสะเทือนของแผ่นดินไหวกรมโยธาธิการและผังเมืองกระทรวงมหาดไทย